

ДРУШТВО ЗА ЗАШТИТУ ОД ЗРАЧЕЊА
СРБИЈЕ И ЦРНЕ ГОРЕ



ЗБОРНИК
РАДОВА

XXIX СИМПОЗИЈУМ ДЗЗСЦГ
Сребрно језеро
27- 29. септембар 2017. године

Београд
2017. године

**SOCIETY FOR RADIATION PROTECTION OF
SERBIA AND MONTENEGRO**



PROCEEDINGS

**XXIX SYMPOSIUM DZZSCG
Srebrno jezero
27- 29. September 2017**

**Belgrade
2017**

ЗБОРНИК РАДОВА

**ХХХ СИМПОЗИЈУМ ДЗЗСЦГ
27-29.09.2017.**

Издавачи:

Институт за нуклеарне науке „Винча“
Друштво за заштиту од зрачења Србије и Црне Горе

За извршног издавача:

Др Борислав Грубор

Уредници:

Др Јелена Станковић Петровић
Др Гордана Пантелић

ISBN 978-86-7306-144-3

©Institut za nuklearne nauke „Vinča“

Техничка обрада:

Јелена Станковић Петровић, Гордана Пантелић

Штампа:

Институт за нуклеарне науке ”Винча”, Мике Петровића Аласа 12-14, 11351
Винча, Београд, Србија

Тираж:

150 примерака

Година издања:

Септембар 2017.

ODREĐIVANJE ENERGETSKOG SPEKTRA NEUTRONA PRISUTNOG U GAMA SPEKTROMETRIJSKIM MERENJIMA SA GERMANIJUMSKIM DETEKTORIMA

Nikola JOVANČEVIĆ¹, David KNEŽEVIĆ^{1,2}, Miodrag KRMAR¹, Jovana NIKOLOV¹, Nataša TODOROVIĆ¹, Jovana PETROVIĆ¹

- 1) *Univerzitet u Novom Sadu, Prirodno-matematički fakultet, Departman za fiziku, Novi Sad, Republika Srbija, nikola.jovancevic@df.uns.ac.rs*
2) *Institut za fiziku, Univerzitet u Beogradu, Republika Srbija*

SADRŽAJ

Određivanje prisustva neutrona tokom niskofonskih gama spektrometrijskih merenja je od posebne važnosti. Zbog toga je u ovom radu analiziran način određivanja energetskog spektra neutrona prisutnog u merenjima sa HPGe detektorima. Ovaj metod se zasniva na korišćenju metoda dekonvolucije. Za to je neophodno poznavati gama aktivnost indukovanih neutronskim reakcijama sa različitim izotopima germanijuma kao i efikasne preseke za date neutronske reakcije. Ovaj pristup je testiran merenjima sa fisionim izvorom neutrona ^{252}Cf koji je bio postavljen u blizini HPGe detektora. Dobijeni rezultati pokazuju da ovaj metod može pružiti pouzdane podatke o obliku energetskog spektra neutrona tokom gama spektrometrijskih merenja.

1. UVOD

Neutronske reakcije sa Ge-detektorom i okolnim materijalima mogu da proizvedu merljivu gama aktivnost putem reakcija zahvata i rasejanja [1]. Kako su neutroni jedan od primarnih izvora fona u gama spektrometriji, analiziranje neutronske prisustva je od velikog značaja u niskofonskim eksperimentima, kao i u različitim promptnim neutronsko aktivacionim eksperimentima [2]. Analiza neutronske interakcije, shodno tome, je bila predmet mnogih istraživanja [1-10]. Međutim, i dalje ostaje problem određivanja neutronske spektralne strukture u Ge-detektoru tokom gama spektrometrijskih merenja [11-13]. U prethodnim istraživanjima koristili smo proceduru dekonvolucije za procenu neutronske spektralne strukture koji potiče od kosmičkog zračenja u germanijumskom detektoru [14]. Ova procedura polazi od početnog (prepostavljenog) spektra, koji se određuje na osnovu eksperimentalno ili teorijski određenih dostupnih podataka. Postupak dekonvolucije modifikuje početni spektar tako da se dobije najbolje slaganje između izmerenih vrednosti gama aktivnosti (u našem slučaju germanijumskih izotopa nakon interakcije sa neutronima) i izračunatih vrednosti gama aktivnosti korišćenjem dekonvolucijom dobijenog neutronske spektralne strukture i dostupnih podataka za efikasne preseke za nuklearne reakcije koje su od interesa. Ovaj metod bi trebao da bude univerzalan i primenjiv u svim merenjima kada su u okruženju germanijumskih detektora prisutni neutroni, kao na primer u slučaju promptnih neutronske aktivacionih merenja. U ovom radu smo uporedili izmerene aktivnosti germanijumskih izotopa i uporedili ih sa vrednostima dobijenim računom, pri čemu je kao izvor neutrona korišćen ^{252}Cf .

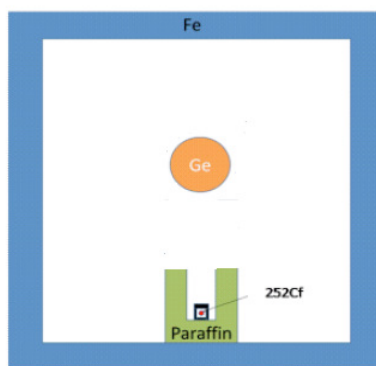
Poređenje ovih vrednosti je neophodno da bi se dobio preliminarni rezultat koji će se koristiti u postupku dekonvolucije za dobijanje neutronske spektralne strukture prilikom merenja sa fisionim izvorom neutrona ^{252}Cf [15, 16]. Poređenjem izračunatih i izmerenih vrednosti

gama aktivnosti moguće je доћи до информација које ће побољшати почетни спектар који се онда може користити за процедуре деконволуције.

2. ЕКСПЕРИМЕНТАЛНА ПОСТАВКА

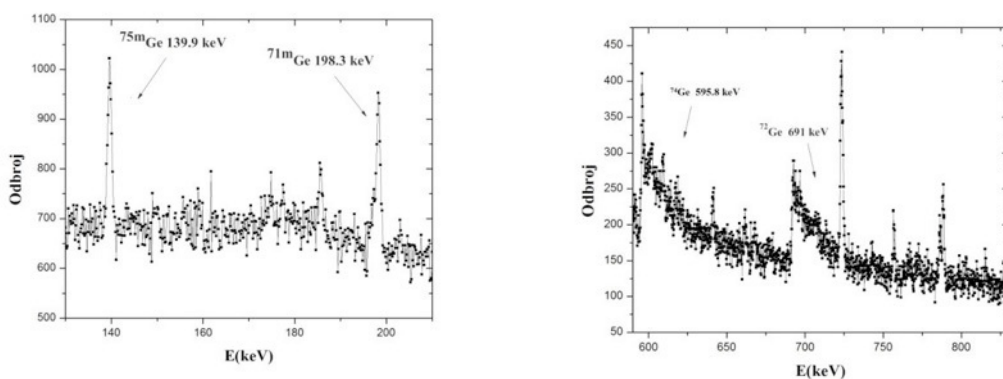
Merenje je izvršено у Laboratoriji за гама спектроскопију, Катедре за нукlearну физику, у оквиру Департмана за физику, Природно-математичког факултета у Новом Саду. За мерење гама активности индуковане neutronима, коришћен је HPGe детектор производаца Canberra, серијског броја G.C.2520-7600. Детектор је n-типа, relativне ефикасности 22.3% и активне запремине 119 cm^3 . Детектор се током мерења налазио унутар гвоздене заштите запремине 1 m^3 са зидовима дебљине 25 cm и мase око 20 t.

Iзвор neutronа у овом експерименту је bio, као што је раније поменуто, ^{252}Cf активности $4,5 \cdot 10^3 \text{ n/s}$ у $4\pi \text{ sr}$. ^{252}Cf има два могућа канала распада: алфа распад (96,9%) и спонтану фисију (3,2%). Period полураспада за спонтану фисију је $T_{1/2}=2,645 \text{ година}$ и приликом сваке спонтане фисије излучује се у просеку 3,77 neutrona.



Slika 1. Šematski prikaz eksperimenta

^{252}Cf се налазио у Marineli посуди облоžеној parafinom са свих стране осим са стране која је usmerena ka HPGe детектору, као што је приказано на слици 1. Како би се апсорбовало гама зрачење које потиче од распада fisionih потомака накупљених у ^{252}Cf , извор је prekriven гвозденом пластицом дебљине 8 mm. Мерење је trajalo 151367 s, што је omogućilo задовољавајућу statistiku detektovanih gama kvanata nastalih prilikom interakcije neutrona са jezgrima germanijuma.



Slika 2. Delovi spektra са детектованим neutronima индукованим гама пиштовима који потичу од (n,γ) реакција (леви сликa) и (n,n') реакција (десни)

3. REZULTATI

3.1. DETEKTOVANE AKTIVNOSTI

Na slici 2 prikazani su delovi spektra sa karakterističnim gama pikovima koji potiču od neutronskih interakcija sa izotopima germanijuma [9, 17]. Identifikovane gama linije, njihovo poreklo i intenziteti su prikazani u tabeli 1. Od svih detektovanih linija izabrane su one sa najboljom statistikom [9]. Za intenzitete standardnih spektroskopskih pikova Gausovskog oblika ($139 \text{ keV } ^{74}\text{Ge}(n,\gamma)^{75m}\text{Ge}$ i $198 \text{ keV } ^{70}\text{Ge}(n,\gamma)^{71m}\text{Ge}$) korišćen je programski paket GENIE2000. Intenzitet asimetričnih (n,n') gama pikova ($691,0 \text{ keV } ^{72}\text{Ge}(n,n')^{72}\text{Ge}$ i $595,8 \text{ keV } ^{74}\text{Ge}(n,n')^{74}\text{Ge}$), određen je korišćenjem funkcije za fitovanje [4,17]:

$$C(E) = a_0 E R F C \left[-\frac{E-E_0}{\sigma_0} \right] \cdot \text{Exp} \left[-\frac{E-E_0}{\Delta} \right] + \sum_{i=1}^n a_i \cdot \text{Exp} \left[-\frac{1}{2\sigma_i^2} (E-E_i)^2 \right] + F \quad (1)$$

Tabela 1. Opšte informacije o detektovanim gama linijama i odgovarajućim vrednostima intenziteta

Energija [keV]	Nuklid	Reakcije	Intenzitet [s^{-1}]
139,9	^{75m}Ge	$^{74}\text{Ge}(n,\gamma)^{75m}\text{Ge}$ $^{76}\text{Ge}(n,2n)^{75m}\text{Ge}$	0,0136(8)
198,3	^{71m}Ge	$^{70}\text{Ge}(n,\gamma)^{71m}\text{Ge}$ $^{72}\text{Ge}(n,2n)^{71m}\text{Ge}$	0,0159(8)
595,8	^{74}Ge	$^{74}\text{Ge}(n,n')^{74}\text{Ge}$	0,0559(27)
691,3	^{72}Ge	$^{72}\text{Ge}(n,n')^{72}\text{Ge}$	0,068(5)

U jednačini (1), prvi član opisuje oblik $\text{Ge}(n,n')$ gama pika. U drugom članu, izraz unutar sume je Gausova funkcija koja odgovara simetričnim gama linijama u regionu koji se fituje. Ove linije mogu biti $\text{Ge}(n,\gamma)$ gama linije ili bilo koje druge linije koje pripadaju fonu. Parametar F označava fonski kontinuum za koji se prilikom fitovanja prepostavlja da je linear funkcija. Parametri fita su a_0 , a_i , E_0 , E_i , σ_0 , σ_i i Δ . U ovom slučaju E_0 i E_i predstavljaju energije detektovanih gama linija; a_0 i a_i su maksimalne amplitude ovih linija. Parametri σ_0 i σ_i su određeni širinom linije na polovini maksimuma i odgovaraju energetskoj rezoluciji detektora. Parametar Δ određuje karakteristike eksponencijalnog repa $\text{Ge}(n,n')$ linija. Varijacijom parametara fita linija i fona, kao i varijacijom energetskog opsega unutar kojeg je izvršeno fitovanje dobijeni su optimalni rezultati [4]. Za fitovanje je korišćen ROOT softver za analizu podataka [18]. Pomoću ovog fita obrađen je i intenzitet gama pika germanijuma energije od $595,8 \text{ keV}$ -a koji nastaje i usled (n,γ) i (n,n') reakcija, tj. interakcijama i sporih i brzih neutrona. Ovo je omogućilo razdvajanje ove linije za potrebe analize na simetričnu gama liniju koja potiče od zahvata i asimetričnu gama liniju koja potiče od neelastičnog rasejanja [19].

Nakon određivanja intenziteta gama linija od interesa, saturacione aktivnosti određenih germanijumskih izotopa po atomu prirodnog germanijuma su izračunate kao [9, 12]:

$$A_k = \frac{C \cdot M}{t \cdot p \cdot (\epsilon + \alpha) \cdot m \cdot N_a} \quad (2)$$

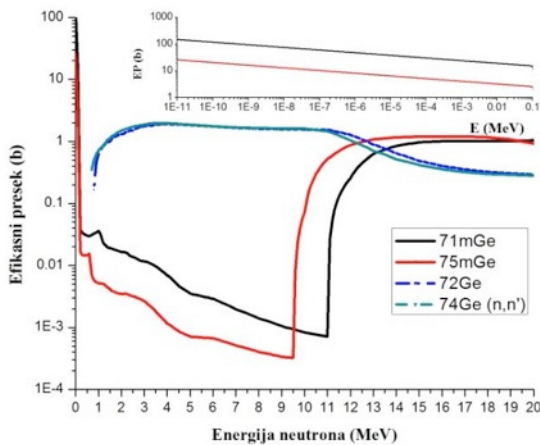
где C представља детектовани одбод гама линије, t је време мerenja, p је вероватноћа емисије гама линије, α је конверзациони коefицијент, ε је ефикасност у пiku пune absorpcije (израчуната помоћу GEANT4 softverskog paketa), M је моларна маса германijuma, m је маса германijumskog kristala и N_a Avogadrova константа. Активности добијене коришћењем једначиње (2), A_k , су приказане у табели 2.

3.2. RAČUNATE AKTIVNOSTI

Метод за računanje активности germanijumskih izotopa se заснива на чинjenici да је neutronima indukovана активност за aktivirani radionuklid, k , пропорционална производу ефикасног пресека за производњу одређеног radionuklida i neutronskog fluksa [20]:

$$A_k = \sum_i \sigma_{ik} \Phi_i ; i = 1, 2, 3 \dots c; k = 1, 2, 3 \dots m \quad (3)$$

где су σ_{ik} одговарајуће функције ефикасног пресека, а Φ_i је neutronски fluks за енергјиски прозор E_i . Индекс k prolazi кроз бројеве коришћених radionuklida, а m представља укупан број radionuklida. Максимална вредност индекса i, c , označава број енергјиских прозора у neutronском спектру i функцији ефикасног пресека. Из једначиње (3), могуће је проценити очекиване вредности за активности germanijumskih izotopa. У овом раду, активности од интереса, A_k , представљају активности izotopa germanijuma које су indukovане različitim neutronskim reakcijama. Вредности σ_{ik} за reakcije od интереса су preuzete из ENDF baze podataka за ефикасне пресеке, preciznije iz ENDF/B-VII.1 biblioteke [21], као што је приказано на слици 3.



Slika 3. Функције ефикасних пресека за производњу Ge изотопа путем neutronских реакција (са увећаним нискоенергетским делом)

За neutronski spektar je коришћен spektar ^{252}Cf чiji je oblik добро познат, без ikakvih модifikacija njegovog облика, iako je realno za очекivati да је у нашој eksperimentalnoj postavci spektar neutrona u detektoru другачији od spektra koji emituje izvor. Ово је урађено управо из разлога да би се poređenjem merenih i izračunatih вредности активности izotopa germanijuma могло закључити какве модifikације треба извршити над spektrom ^{252}Cf тако да он реалније опишује spektar neutrona unutar samog detektora. Вредности ovako добијених активности су приказане у табели 2. Treba напоменути да је prilikom

izračunavanja aktivnosti izotopa germanijuma korišćen faktor normiranja koji treba da omogući poređenje izmerenih i izračunatih vrednosti jer je prilikom računanja ukupan fluks neutrona normiran na jediničnu vrednost.

4. DISKUSIJA I ZAKLJUČAK

U tabeli 2 prikazane su izmerene i izračunate aktivnosti, kao i njihovi odnosi. Uočava se da se za izotope germanijuma ^{71m}Ge i ^{72}Ge izračunate vrednosti relativno dobro slažu sa izmerenim vrednostima, dok su kod ^{74}Ge i ^{75m}Ge izmerene vrednosti veće oko 2,5 i 4 puta od izračunatih, respektivno. Odstupanja računatih i izmerenih vrednosti za izotop ^{75m}Ge upućuju na mogućnost značajnijeg uticaja interakcija brzih neutrona na intenzitet gama pika od 139,9 keV, što je i bio predmet naše prethodne studije [19]. Neslaganje izmerenih i računatih vrednosti za ^{74}Ge može biti objašnjeno značajnjim doprinosom $^{73}\text{Ge}(n,\gamma)^{74}\text{Ge}$ detektovanom odbroju gama pika energije od 595,8 keV. Ova odstupanja postavljaju i pitanje validnosti dostupnih efikasnih preseka za korišćene neutronske reakcije.

Ovde prikazani rezultati upućuju na to da promptni fisioni neutronski spektar ^{252}Cf ne može na najbolji način objasniti prisutan spektar neutrona tokom izvršenog merenja. To može biti posledica usporavanja i termalizacije neutrona u materijalima prisutnim u okruženju detektora. Takođe, za dalju analizu neophodno je u račun uključiti i druge neutronske reakcije sa izotopima germanijuma i izvršiti proveru validnosti dostupnih podataka za efikasne preseke za interakciju neutrona sa jezgrima germanijuma.

Tabela 2. Intenziteti, izmerene i računate aktivnosti za reakcije od interesa, kao i odnosi izmerenih i računatih vrednosti

Izotop	Izmerena aktivnost [10^{-26} Bq]	Računata aktivnost [10^{-26} Bq]	Odnos aktivnosti (I/R)
^{71m}Ge	0,506(27)	0,63	0,80
^{72}Ge	1,31(9)	1,57	0,83
^{74}Ge	7,1(3)	1,74	4,08
^{75m}Ge	0,288(16)	0,112	2,57

5. LITERATURA

- [1] G. Heusser, Nucl. Instrum. Methods Phys. Res. A 369 (1996) 539.
- [2] A. Dragić, et al., Phys. Procedia 59 (2014) 125.
- [3] R. Wordel, et al., Nucl. Instrum. Methods Phys. Res. A 369 (1996) 557.
- [4] E. Gete, et al., Nucl. Instrum. Methods Phys. Res. A 388 (1997) 212.
- [5] N. Jovančević, M. Krmar, Phys. Procedia 31 (2012) 93–98.
- [6] Y. Feige, et al., J. Geophys. Res. 73 (1968) 3135–3142.
- [7] G.P. Škoro, et al., Nucl. Instrum. Methods Phys. Res. A 316 (1992) 333.
- [8] N. Jovančević, M. Krmar, Appl. Rad. Isot. 69 (2011) 629–635.
- [9] N. Jovančević, et al., Nucl. Instrum. Methods Phys. Res. A 612 (2009) 303–308.
- [10] G. Heusser, Background in ionizing radiation detection, in: M. Garcia-Leon, R. Gracia-Tenorio (Eds.), Low-Level Measurements of Radioactivity in the Environment, Word Scientific, Singapore, 1994, pp. 69–112.

- [11] C. Chund, Y.R. Chen, Nucl. Instrum. Methods Phys. Res. A 301 (1991) 328–336.
- [12] J.E. Naye, Nucl. Instrum. Methods Phys. Res. A 368 (1996) 832–846.
- [13] G. Fehrenbacher, et al., Nucl. Instrum. Methods Phys. Res. A 372 (1996) 239.
- [14] D. Knežević, N. Jovančević, M. Krmar, J. Petrović, Modeling of neutron spectrum in the gamma spectroscopy measurements with Ge-detectors, Nucl. Instrum. Methods Phys. Res. A, 833 (2016), p. 23-26.
- [15] C.W. Reich, W. Mannhart, T. England, IAEA Technical Report INDC(NDS)220/L, p.305, IAEA, Vienna (1989).
- [16] International Reactor Dosimetry and Fusion File, IAEA Data, <https://www-nds.iaea.org/IRDFF>.
- [17] T. Siiskonen, H. Toivonen, Nucl. Instrum. Methods Phys. Res. A 540 (2005) 403.
- [18] ROOT cern, <https://root.cern.ch>.
- [19] B. Andelić, D. Knežević, N. Jovančević, M. Krmar, J. Petrović, A. Toth, Ž. Medić, J. Hansman, Presence of neutrons in the low-level background environment estimated by the analysis of the 595.8 keV gamma peak, Nucl. Instrum. Methods Phys. Res. A, 852 (2017), p. 80–84.
- [20] A. Trkov, V. Radulović, J. Radioanal. Nucl. Chem. 304 (2015) 763–778.
- [21] The ENDF, Evaluated Nuclear Data File, <https://www-nds.iaea.org/exfor/endf.htm>.

DETERMINATION OF NEUTRON ENERGY SPECTRA PRESENCE IN GAMMA SPECTROSCOPIC MEASUREMENTS USING GE-DETECTORS

Nikola JOVANČEVIĆ¹, David KNEŽEVIĆ^{1,2}, Miodrag KRMAR¹, Jovana NIKOLOV¹, Nataša TODOROVIĆ¹, Jovana PETROVIĆ¹

- 1) University of Novi Sad, Faculty of Sciences, Department of Physics, Novi Sad, Serbia, nikola.jovancevic@df.uns.ac.rs
- 2) Institute of Physics, Pregrevica 118, University of Belgrade, Belgrade, Serbia

ABSTRACT

Determination of neutron spectra in the Ge-detector during low-level gamma spectroscopy measurements is of great importance. Thus, in this paper we analyzed the method for the determination of neutron energy spectra present during measurements with HPGe detectors. This method is based on using the deconvolution procedure. It requires the knowledge of neutron induced gamma activities of Ge isotopes and the cross section data for the neutron reactions of interest. This approach was tested with measurements that used the fission neutron source ^{252}Cf placed in proximity of the HPGe detector. Results show that this method can provide reliable data about the shape of neutron energy spectrum during gamma spectroscopy measurements.